



FAG

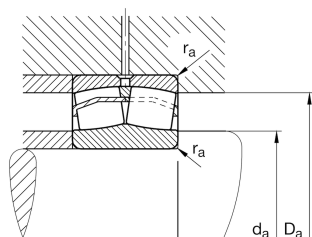
**22319-E1-XL-H40-T41A-C2**

## Радиальный сферический роликоподшипник

Радиальный сферический роликоподшипник 223...E1-XL-H40-T41A, симметричный с направляющим кольцом сепаратора, для вибрационных нагрузок, с суженными допусками диаметров

X-life

## Техническая информация



## Ваш текущий вариант продукта

Design	E1	Without central rip
Исполнение отверстия	Z	Цилиндрическое
Cage	JPA	Стальной сепаратор, штампованный
Радиальный зазор	C2 (Group 2)	Internal clearance smaller than CN
Relubrication facility	H40	без смазочных отверстий и смазочной канавки
Spherical roller bearing for vibrating screens	T41A	For vibrating screens

## Основные размеры и рабочие характеристики

d	95 mm	Диаметр отверстия
D	200 mm	Наружный диаметр
B	67 mm	Ширина
$C_r$	670.000 N	Динамическая грузоподъемность, радиальная
$C_{0r}$	700.000 N	Статическая грузоподъемность, радиальная
$C_{ur}$	61.000 N	Предел усталостной нагрузки, радиальный
$n_G$	3.700 1/min	Предельная частота вращения
$n_{gr}$	2.800 1/min	Номинальная тепловая частота вращения
$\approx m$	9,4 kg	Вес



### Присоединительные размеры

$d_{a \min}$	109 mm	Мин. диаметр заплечика вала
$D_{a \max}$	186 mm	Макс. диаметр заплечика корпуса
$r_{a \max}$	2,5 mm	Макс. радиус галтели

### Габаритные размеры

$r_{\min}$	3 mm	Мин. размер монтажной фаски
$D_1$	171,2 mm	Диаметр отверстия наружного кольца
$d_2$	116 mm	Диаметр дорожки качения внутреннего кольца

### Диапазон температур

$T_{\min}$	-30 °C	Мин. рабочая температура
$T_{\max}$	200 °C	Макс. рабочая температура

### Коэффициенты для расчета

$e$	0,33	Предельное значение $F_a/F_r$ для применимости различн. значений коэффициентов X и Y
$Y_1$	2,03	Динамический коэффициент осевой нагрузки
$Y_2$	3,02	Динамический коэффициент осевой нагрузки
$Y_0$	1,98	Статический коэффициент осевой нагрузки

### Характеристики

	Радиальная нагрузка
	Осевая нагрузка в одном направлении
	Осевая нагрузка в обоих направлениях
	Смазывание пластичной смазкой
	Смазывание маслом
	Без уплотнений
	Статические угловые и линейные несоосности
	Динамические угловые и линейные несоосности